



سال چهارم، شماره ۱۳، بهار ۱۳۹۳، ۱۶-۱



## تعیین مناسب‌ترین مدل نفوذ به منظور بررسی تغییرپذیری مکانی پارامترهای نفوذ (مطالعه موردی: استان مازندران حوزه آبخیز داراب‌کلا)

- نویسنده مسئول، دانشجوی دکتری آبخیزداری، دانشگاه مازندران [ebrahim\\_omidvar@yahoo.com](mailto:ebrahim_omidvar@yahoo.com)\*  
 استادیار گروه مهندسی مرتع و آبخیزداری، دانشگاه مازندران، [ataollah.kavian@yahoo.com](mailto:ataollah.kavian@yahoo.com)  
 استاد گروه مهندسی مرتع و آبخیزداری، دانشگاه مازندران، [solaimani2001@yahoo.co.uk](mailto:solaimani2001@yahoo.co.uk)
۱. ابراهیم امیدوار\*  
 ۲. عطاءالله کاویان  
 ۳. کریم سلیمانی

### چکیده

فرآیند ورود آب از سطح زمین به داخل خاک را نفوذ می‌گویند. طی سال‌های گذشته اهمیت فرآیند نفوذ به عنوان یک فرآیند مهم در چرخه هیدرولوژیک باعث شده که به منظور پیش‌بینی میزان نفوذ، مدل‌های عددی زیادی توسعه پیدا نمایند. جدی‌ترین مسئله مربوط به مدل سازی نفوذ یک حوزه آبخیز این است که تغییرپذیری مکانی خاک، چگونه تفسیر شود. در این پژوهش ابتدا با استفاده از داده‌های میدانی ۲۷ آزمایش نفوذ‌سنجی استوانه مضاعف، فرآیند نفوذ توسط مدل‌های مختلف نفوذ مدل سازی شده و مناسب‌ترین مدل از لحاظ برآشش با داده‌های مشاهداتی در حوزه آبخیز داراب‌کلا انتخاب گردید. در ادامه با استفاده از تکنیک‌های زمین‌آمار، تغییرپذیری مکانی پارامترهای مناسب‌ترین مدل مورد تجزیه و تحلیل قرار گرفت. نتایج نشان داد که از بین مدل‌های مختلف، مدل گرین - امپت با مقدار RMSE کمتر به عنوان بهترین مدل انتخاب شد. بنابراین پارامترهای هدایت هیدرولیکی اشباع (KS) و پتانسیل مکش خاک در جبهه رطوبتی خاک (SW) برای تمامی نقاط مورد آزمایش محاسبه گردید. ارزیابی تغییرپذیری مکانی این پارامترها نشان داد که پارامتر KS و SW دارای میزان وابستگی مکانی به ترتیب  $0.49$  و  $0.25$  بودند. این ارقام بیان گر وابستگی مکانی متوسط هر دو پارامتر می‌باشد. همچنین بررسی نقشه‌های میان‌بابی این پارامترها نیز نشان داد که در قسمت‌های بالادست حوزه که کاربری جنگل وجود دارد، هدایت هیدرولیکی اشباع دارای مقادیر بیشتر ( $1/57-2/69 \text{ cm/hr}$ ) و پتانسیل مکش خاک در جبهه رطوبتی دارای مقادیر کمتری ( $12/12-17/37 \text{ cm}$ ) نسبت به سایر نقاط حوزه می‌باشد.

تاریخ دریافت:

تاریخ پذیرش:

واژه‌های کلیدی: نفوذ، مدل گرین-امپت، زمین‌آمار، حوزه آبخیز داراب‌کلا

## ۱- مقدمه

فرآیند ورود آب از سطح زمین به داخل خاک را نفوذ می‌گویند. نفوذ به عنوان یک فرآیند مهم در چرخه هیدرولوژیکی، می‌تواند به رواناب سطحی اضافه شود و یا آب‌های زیرزمینی را تغذیه نماید (Hsu *et al.*, 2002). هنگامی که میزان بارندگی از میزان نفوذ تجاوز نماید، رواناب سطحی ایجاد می‌گردد. بنابراین حجم و زمان‌بندی رواناب تولید شده به وسیله فرآیند نفوذ کنترل می‌شود که این فرآیند نیز تابعی از خصوصیات هیدرولیکی خاک، شرایط مرزی سطحی و شرایط رطوبت اولیه خاک می‌باشد (Moody *et al.*, 2009).

همچنین فرآیند نفوذ وظیفه انتقال مقداری از بارش به سیستم خاک برای دسترسی ریشه گیاه را نیز به عهده دارد. با ملاحظه بین نفوذ و آب موجود در خاک، در مناطقی - مانند عرصه‌های طبیعی - که بارندگی تنها منبع تأمین آب موجود در خاک می‌باشد، اهمیت درک فرآیندها و الگوهای نفوذ مهم می‌گردد (Wang *et al.*, 2008). میزان نفوذ نشان می‌دهد که چه مقدار از آب وارد منطقه غیراشباع خاک شده و چه مقدار از آن به رواناب تبدیل می‌گردد (Hillel, 1998). کاهش سرعت نفوذ دلیل اصلی ایجاد رواناب و فرسایش خاک می‌باشد (Hemmat *et al.*, 2007). طی سال‌های گذشته اهمیت فرآیند نفوذ باعث شد که به منظور پیش‌بینی میزان نفوذ، مدل‌های عددی زیادی توسعه پیدا نمایند (Machiwal *et al.*, 2006). محدوده این مدل‌ها از مدل‌های تجربی (کوستیاکوف<sup>۱</sup>، هورتون<sup>۲</sup>، هولتان<sup>۳</sup>) تا مدل‌های با مبنای فیزیکی (گرین-امپت<sup>۴</sup>، فیلیپ<sup>۵</sup> و ...) می‌باشد.

Philip (1969) و همچنین Swartzendruber و Hillel (1973) مدل‌های مختلف نفوذ را به صورت گسترشده مرور نموده و مورد انتقاد قرار دادند. Williams و Ravi (1998) نیز خلاصه‌ای از مدل‌های تجربی مختلف، مدل گرین - امپت و مدل‌های مبتنی بر معادله ریچاردز را ارائه نمودند. در بیشتر مطالعات از چندین مدل نفوذ اجرا شده برای داده‌های صحرابی، تنها تعداد کمی از آن‌ها قابلیت کاربرد موفق را دارند. به منظور ترجیح انتخاب یک مدل نسبت به سایر مدل‌ها، سهولت برآورد پارامترهای مدل یکی از مهم‌ترین معیارها می‌باشد.

جدی‌ترین مسئله مربوط به مدل‌سازی نفوذ یک حوزه آبخیز این است که تغییرپذیری مکانی خاک، چگونه تفسیر شود (Machiwal *et al.*, 2006). مطالعات قبلی (Nielsen *et al.*, 1973; Carvallo *et al.*, 1976; Warrick *et al.*, 1976; Keisling *et al.*, 2006) نشان داده که تغییرپذیری مکانی در اراضی کشاورزی سبب ایجاد تغییرپذیری زیادی در فرآیند نفوذ می‌گردد. تغییرپذیری مکانی می‌تواند با استفاده از تکنیک‌های مختلفی برآورده شود که بازترین آن‌ها روش‌های زمین آمار می‌باشد (حسنی پاک، ۱۳۷۷)، در سه دهه اخیر پیشرفت‌های زیادی در تئوری آمار مکانی حاصل شده که منجر به شناخت بهتری از تغییرپذیری خاک شده است (Machiwal *et al.*, 2006). زمین آمار شاخه‌ای از آمار است که در آن مختصات مکانی داده‌های مربوط به جامعه تحت بررسی و به تبع آن ساختار فضایی آن‌ها، مورد مطالعه قرار می‌گیرد. از دیدگاه زمین آمار هر نمونه تا یک حداکثر فاصله‌ای معین با نمونه‌های اطراف خود ارتباط فضایی دارد، این فاصله حداکثر، دامنه تأثیر نامیده می‌شود که دارای اهمیت فراوانی است. امروزه روش‌های زمین آماری علی‌رغم پیچیدگی آن‌ها به دلیل کاربرد نرم‌افزارهای کامپیوتری در شاخه‌های مختلف علم و خصوص علوم محیطی و منابع طبیعی کاربرد فراوانی دارد (حسنی پاک، ۱۳۷۷).

مطالعات تجربی زیادی نشان داده است که خواص هیدرولیکی خاک حتی در واحدهای مشابه خاک نیز به طور قابل ملاحظه‌ای تغییر می‌نماید (Nielsen *et al.*, 1973; Comenga & Vitale, 1973)، به خصوص هدایت هیدرولیکی خاک که ممکن است دارای ضریب تغییرات بالاتر از ۱۰۰٪ باشد (Machiwal *et al.*, 2006) طی پژوهشی در حوزه آبخیز خاراگپور ۶ هند، پس از بررسی کارایی مدل‌های مختلف نفوذ، تغییرپذیری مکانی پارامترهای مدل مناسب را با استفاده از داده‌های مربوط به تعداد ۲۴ آزمایش نفوذ‌سنجی کمی نمودند. نتایج تحقیق آن‌ها نشان داد که از بین مدل‌های نفوذ گرین-امپت، دوجمله‌ای فیلیپ، کوستیاکوف-لوئیس و کوستیاکوف، مدل نفوذ دوجمله‌ای فیلیپ بهترین برآش را با داده‌های مشاهداتی داشته است. سایر نتایج آن‌ها نیز حاکی از این بود که پارامترهای

۱- Kostiakov

۲- Horton

۳- Holtan

۴- Green-Ampt

۵- Philip

۶- Kharagpur

مدل مذکور دارای تغییرات وسیعی در سطح حوزه مورد مطالعه بوده و نتیجه نهایی اینکه منطقه مورد مطالعه آن‌ها دارای تغییرپذیری مکانی بالایی بوده است.

در ایران نیز مطالعاتی روی مدل‌های مختلف نفوذ و تغییرات مکانی پارامترهای نفوذ انجام پذیرفته است. از جمله:

نشاط و پاره‌کار (۱۳۸۶) پس از بررسی روش‌های مختلف تعیین سرعت عمودی نفوذ در ۸۲ منطقه از کشور، برای زمان‌های شبیه‌سازی طولانی‌تر مدل‌های فیلیپ و SCS و برای تمامی شرایط به صورت کلی مدل کوستیاکوف را به عنوان مناسب‌ترین مدل معرفی نمودند. این نتایج در مورد مدل کوستیاکوف با یافته‌های سپهوند و همکاران (۱۳۸۹) در منطقه‌ای از استان ایلام که در مقادیر مختلف رطوبت خاک تخمین بهتری نسبت به سایر مدل‌ها داشته، مطابقت دارد. همچنین نتیجه نهایی در هر دو پژوهش تو صیه مدل کوستیاکوف و فیلیپ برای تخمین نفوذپذیری می‌باشد.

قربانی دشتکی و همکاران (۱۳۸۹) تأثیر تغییر کاربری بر تغییرات مکانی پارامترهای مدل نفوذ فیلیپ را در منطقه تنگ نظارین استان چهارمحال و بختیاری بررسی نمودند. نتایج آن‌ها نشان داد که در مراتع تخریب نشده پارامترهای مدل نفوذ فیلیپ دارای ساختار مکانی قوی بوده به گونه‌ای که تنها ۱۰ درصد از تغییرات پارامتر هدایت هیدرولیکی اشباع و ۳۵ درصد تغییرات پارامتر ضربی جذبی خاک تصادفی می‌باشد. همچنین مدل مناسب تغییرنما در مورد هر دو پارامتر مدل کروی بوده و هر دو پارامتر در کاربری‌های مختلف دارای ناهمسانگردی می‌باشند.

محمدی کنگرانی و همکاران (۱۳۹۰) ارتباط بین تغییر کاربری اراضی و میزان نفوذپذیری خاک را در حوزه آبخیز جنگلی نکارود بررسی نمود. نتایج آن‌ها نشان داد که بیشترین دامنه نفوذ متعلق به کاربری جنگل و کمترین آن متعلق به کاربری کشاورزی بوده و همچنین مدل نفوذ هورتون برای محاسبه میزان نفوذ، مناسب می‌باشد.

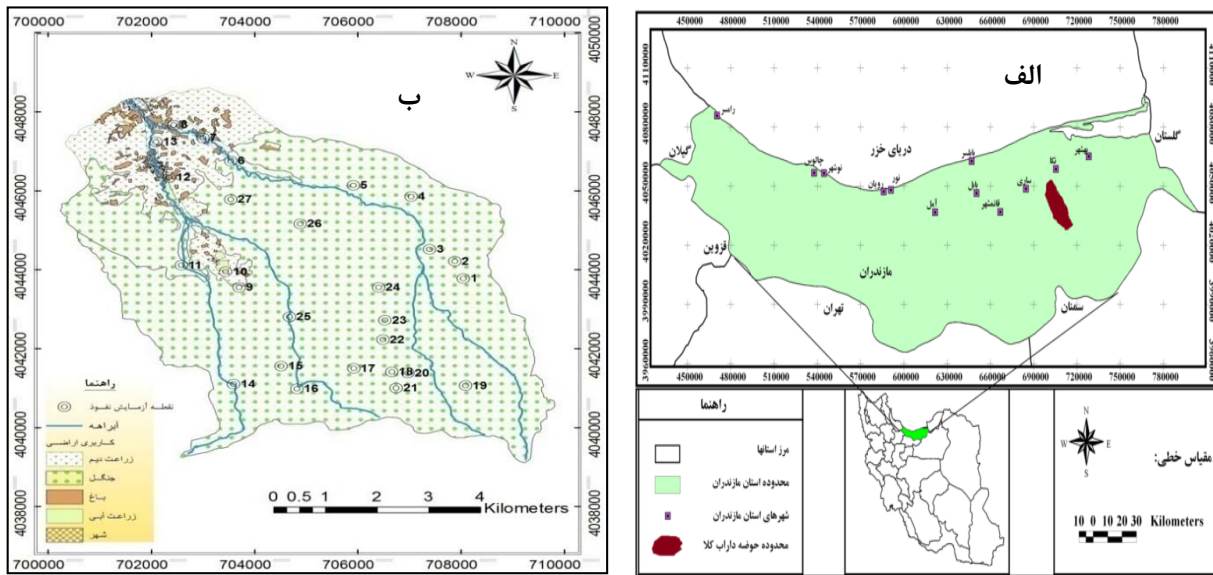
در این پژوهش ابتدا با استفاده از داده‌های میدانی نفوذ‌سنج استوانه مضاعف، فرآیند نفوذ توسط مدل‌های مختلف مدل‌سازی و ارزیابی شده، و بهترین مدل از لحاظ برآشش با داده‌های م شاهداتی در منطقه مورد مطالعه انتخاب می‌گردد. در ادامه با استفاده از تکنیک‌های زمین‌آمار، تغییرپذیری مکانی پارامترهای مختلف مدل نفوذ انتخاب شده مورد تجزیه و تحلیل قرار می‌گیرد. نتایج این مطالعه می‌توانند برای برنامه‌ریزی و مدیریت حوزه آبخیز داراب کلا مفید باشد.

## ۲- مواد و روش

### ۱- منطقه مورد مطالعه

به منظور پیش‌برد مراحل اجرای این پژوهش یکی از زیر حوزه‌های مریبوط به حوزه آبخیز داراب کلا واقع در استان مازندران به عنوان منطقه مورد مطالعه انتخاب گردید. این حوزه از سمت جنوب به رشته‌کوه‌های البرز و حوزه آبخیز زارمروド (از سر شاخه‌های تجن)، از غرب به حوزه آبخیز تجن، از شرق به حوزه آبخیز نکارود متصل شده و از سمت شمال دارای خروجی به سمت دریای خزر می‌باشد. از لحاظ مختصات جغرافیایی حوزه مذکور در محدوده بین "۵۴° ۵۳'۰.۹" تا "۲۱° ۴۰' ۵۳" طول شرقی و "۳۶° ۳۶' ۵۵" تا "۸° ۳۹' ۰" عرض شمالی قرار دارد. مساحت این حوزه ۵۷۲۷ هکتار می‌باشد.

در قسمت جنوبی حوزه بیشتر اراضی شامل مناطق جنگلی انبوه و نیمه انبوه و همچنین در قسمت شمالی، غربی، مرکزی و تا حدودی شرق بیشتر مناطق شامل اراضی زراعی می‌باشند. شکل ۱ موقعیت حوزه آبخیز داراب کلا را در استان مازندران و ایران نشان می‌دهد.



شکل ۱: (الف) موقعیت حوزه آبخیز داراب کلا (ب) پراکنش نقاط نمونه برداری و آزمایش نفوذ در حوزه و نقشه کاربری اراضی

## ۲-۲- روشن پژوهش

### ۲-۲-۱- آزمایش نفوذ سنجی (استوانه مضاعف)

در این تحقیق به منظور برداشت داده‌های م شاهداتی نفوذ، به صورت تصادفی ۲۷ نقطه از مناطق مختلف حوزه آبخیز داراب کلا (که پراکنش نسبتاً خوبی در سطح حوزه داشتند) انتخاب گردید، در این نقاط آزمایش نفوذ سنجی به روش استوانه مضاعف و همچنین برداشت نمونه خاک از عمق ۰-۳۰ سانتیمتر سطحی انجام پذیرفت (شکل ۲). شکل ۱- ب پراکنش نقاط آزمایش نفوذ سنجی و برداشت نمونه خاک در حوزه را نشان می‌دهد. با توجه به استاندارد تعریف شده توسط USDA- NRCS (۲۰۰۵) در این آزمایش‌ها برداشت میزان نفوذ تا زمان رسیدن به سرعت نفوذ نهایی (هنگامی که آهنگ کاهش سرعت نفوذ طی یک ساعت به کمتر از ۱۰ درصد بررس) ادامه پیدا نمود. همچنین در کل زمان آزمایش ارتفاع آب روی سطح خاک در داخل استوانه‌ها ۱۰ cm ثابت نگه داشته شد. قرائت میزان نفوذ از روی خطکش مدرج در ۱۰ دقیقه ابتدای آزمایش با فاصله زمانی ۱ دقیقه و سپس با فاصله ۱۰ دقیقه‌ای انجام پذیرفت. البته در برخی موارد که سرعت نفوذ بالا بود در فواصل زمانی کوتاه‌تر (۲ یا ۵ دقیقه‌ای) نیز قرائت انجام گردید. این آزمایش‌ها در پنج نقطه آزمایشی ابتدایی در ۳ تکرار انجام پذیرفت. سپس به منظور بررسی اعتبار نتایج هر آزمایش میزان آماره آلفای کرونباخ ۷ برای تکرارهای هر آزمایش محاسبه گردید. این آماره به صورت زیر تعریف می‌گردد (Bland and Altman, 1997).

$$\alpha = \frac{k}{k-1} \left[ 1 - \frac{\sum_{i=1}^k s_i^2}{s_T^2} \right] \quad (1)$$

که در آن:  $k$ : تعداد تکرارها،  $s_i$ : واریانس تکرار  $i$ ام،  $s_T$ : واریانس مجموع تکرارها می‌باشد. در صورتی که مقدار آماره بیش از ۸۰٪ باشد همه تکرارها قابل اعتماد هستند و کل آزمایش پایدار داخلی محسوب می‌گردد. اگر مقدار  $\alpha$  کمتر از ۸۰٪ باشد، حداقل یکی از تکرارها معتبر نیست (Ho 2006). از آنجایی که در این ۵ نقطه میزان آماره  $\alpha$  بالاتر از ۸۰٪ بود، بنابراین در ۲۲ نقطه بعدی آزمایش نفوذ سنجی تنها در یک تکرار انجام پذیرفت.



شکل ۲: آزمایش نفوذپذیری خاک به روش استوانه مضاعف در نقاط شماره ۳ (شکل الف) و ۱۳ (شکل ب)

### ۲-۲-۲- آزمایش بافت خاک

نمونه‌های خاک برداشت شده طی عملیات صحرایی به آزمایشگاه خاک منتقل گشته و پس از خشک نمودن آن‌ها در دمای ۱۰۵ درجه سانتی‌گراد به مدت ۲۴ ساعت و عبور از الک با اندازه ۲ میلی‌متر، آزمایش تعیین بافت خاک به روش هیدرومتر روی آن‌ها انجام پذیرفت.

### ۲-۲-۳- مدل‌های برآورد نفوذ

به منظور انتخاب بهترین مدل برآورد نفوذ با توجه به داده‌های موجود، کاربرد عملی و همچنین استفاده متعدد از آن‌ها در سوابق پژوهشی موجود در ایران (محمدی کنگرانی و همکاران (۱۳۹۰)، سپهوند و همکاران (۱۳۹۰)، قربانی دشتکی و همکاران (۱۳۸۹)، پرچمی عراقی و همکاران (۱۳۸۹)، نشاط و پاره‌کار (۱۳۸۶) و ...) و خارج از کشور (Machiwal *et al.*, 2006; Voller, 2011، Hsu *et al.*, 2000). چهار مدل نفوذ گرین-امپت، کوستیاکف، فیلیپ دوجمله‌ای و هورتون انتخاب گردیدند. در زیر خلاصه‌ای از مدل‌های استفاده شده در این پژوهش ارائه می‌گردد.

#### مدل گرین-امپت

مدل گرین-امپت یک مدل مبتنی بر فیزیک می‌باشد و معادله این آن برای محاسبه شدت نفوذ (I) به صورت زیر می‌باشد:

$$I = K_S(H_0 + S_W + L)/L \quad (2)$$

که در آن،  $K_S$ : ضریب هدایت هیدرولیکی اشباع،  $H_0$ : ارتفاع آب در سطح خاک،  $S_W$ : پتانسیل مکش خاک در جبهه رطوبتی،  $L$ : فاصله سطح خاک تا جبهه رطوبتی می‌باشد. شکل ساده شده این مدل برای حل معادله به صورت زیر می‌باشد:

$$I = \frac{A}{i} + B \quad (3)$$

که در آن،  $A$ : نفوذ تجمعی،  $B$ : ضرایبی هستند که از روی آزمایش نفوذ به دست می‌آیند. این معادله اساس فیزیکی و نظری دارد و با آن می‌توان شکل منحنی نفوذ و تغییرات آن را پیش‌بینی نمود (گرین ۱۹۱۱، نشاط و پاره کار ۱۳۸۶).

### مدل فیلیپ دو جمله‌ای

مدل نفوذ دو جمله‌ای فیلیپ نیز مبنای فیزیکی داشته و به صورت زیر بیان می‌شود:

$$I(t) = St^{1/2} + At \quad (4)$$

$$i(t) = \frac{St^{-1/2}}{2} + A \quad (5)$$

که در آن  $A$  فاکتور قابلیت انتقال (mm/min) بوده و اساس آن بر مبنای خصوصیات خاک و محتوای آب اشباع یا اولیه می‌باشد (Machiwal et al., 2006).

### مدل کوستیاکف

کوستیاکف (۱۹۳۳) مدل تجربی زیر را برای محاسبه میزان نفوذ پیشنهاد نمود:

$$i(t) = at^{-b} \quad (6)$$

که در آن  $i(t)$  میزان نفوذ در زمان  $t$  و  $a < b < 1$  پارامترهای مدل کوستیاکف می‌باشند. انگرال معادله فوق برای نفوذ تجمعی  $I(t)$  به صورت می‌باشد:

$$I(t) = \frac{a}{1-b} t^{1-b} \quad (7)$$

معادله کوستیاکف فرآیند نفوذ را در دوره‌های زمانی کوتاه به خوبی تشریح می‌نماید، اما برای دوره‌های بلند دارای دقت کمتری می‌باشد (Philip, 1957; Paralange & Haverkamp, 1989).

### مدل هورتون

معادله هورتون نیز معادله‌ای تجربی بوده که صورت زیر بیان می‌شود:

$$F_t = F_c + (F_0 - F_c)e^{-kt} \quad (8)$$

که در این رابطه،  $F_t$ : نفوذ در زمان  $t$  بر حسب میلی‌متر بر ساعت،  $F_c$ : شدت نفوذ نهایی بر حسب میلی‌متر بر ساعت،  $F_0$ : شدت نفوذ اولیه بر حسب میلی‌متر بر ساعت و  $k$  ثابت هورتون است که بستگی به کاربری اراضی و جنس خاک دارد (نشاط و پاره کار ۱۳۸۶). پس از اینکه داده‌های مربوط به نفوذ تجمعی در مقابل زمان طی آزمایش‌های نفوذ به دست آمد، با استفاده از نرم‌افزار Excel این داده‌ها با هر یک از مدل‌های ذکرشده برازش داده شد.

### ۲-۲-۴- بررسی کارایی مدل‌های مختلف نفوذ

پس از برازش داده‌های مشاهداتی با هر یک از مدل‌ها، مقادیر پارامترهای هر مدل محاسبه و سرعت نفوذ پیش‌بینی شده در زمان‌های مختلف توسط هر مدل برای تمامی نقاط مورد آزمایش محاسبه گردید. در ادامه با توجه به داده‌های مشاهداتی برداشت شده طی آزمایش‌های مختلف نفوذسنجی و همچنین داده‌های محاسباتی مدل‌ها، به منظور ارزیابی دقت مدل‌های نفوذ از معیار آماری ریشه میانگین مربعات خطأ (RMSE) استفاده گردید. RMSE یک معیار قوی برای ارزیابی دقت می‌باشد که در زمینه‌های هیدرولوژی، آبهای زیرزمینی و ارزیابی مدل‌های ریاضیاتی کاربرد فروانی دارد (Feng et al., 2012). این معیار با توجه به معادله ۹ محاسبه می‌گردد:

$$RMSE = \sqrt{\sum_{i=1}^n (O_i - P_i)^2 / n} \quad (9)$$

که در آن:  $O_i$ : مقادیر سرعت نفوذ مشاهداتی،  $P_i$ : سرعت نفوذ محاسبه شده تو سط مدل و  $n$ : تعداد داده‌ها می‌باشد (Dashtaki et al., 2009).

به منظور انتخاب یک مدل برای کل حوزه، میانگین RMSE در تمامی نقاط برای هر مدل محاسبه گردید و در نهایت کمترین مقدار میانگین RMSE، بهترین مدل را معرفی نمود (پرچمی عراقی و همکاران، ۱۳۸۹). همچنین در روشنی دیگر ابتدا در تمامی آزمایش‌ها با توجه به مقدار RMSE به دست آمده مدل‌های مناسب به ترتیب انتخاب شده و با توجه به اولویت انتخاب از بین ۴ مدل به هر کدام از ۱ تا ۴ رتبه‌ای داده شد. در نهایت مدلی که برای تمامی نقاط کمترین مجموع رتبه‌ها را به خود اختصاص داد به عنوان مناسب‌ترین مدل انتخاب شد.

## ۲-۵-۵- محاسبه پارامترهای بهترین مدل نفوذ

همان طور که در بخش نتایج خواهد آمد با توجه به معیار آماری RMSE، در این تحقیق مدل گرین- امپت به عنوان بهترین مدل شناخته شد. پارامترهای این مدل یعنی ضریب هدايت هیدرولیکی اشباع ( $K_s$ ) و پتانسیل مکش خاک در جبهه رطوبتی ( $SW$ )، دارای اساس فیزیکی بوده و می‌توانند از طریق ویژگی‌های مختلف خاک محاسبه گردند (Houghtalen and Akran, 2003). به منظور محاسبه پارامترها در این تحقیق از طریق این ویژگی‌ها و بر اساس برازش داده‌های مشاهداتی، پارامترها محاسبه گردید.

در آزمایش‌های نفوذ، مقدار عمق تجمعی نفوذ ( $F$ ) نسبت به زمان اندازه‌گیری می‌شود. در صورتی که در هر بازه زمانی مقدار سرعت نفوذ  $f$  محاسبه شود و مقادیر رطوبت اولیه ( $\theta_i$ ) و تخلخل خاک ( $\eta$ ) محل آزمایش اندازه‌گیری گردد، می‌توان یک رابطه رگرسیون خطی بین مقادیر عکس عمق تجمعی نفوذ و سرعت نفوذ به صورت زیر تعیین نمود:

$$(10) \quad \frac{f}{K} + 1 = -SW \frac{\eta - \theta_i}{F}$$

با استفاده از شبیه خط و عرض از مبدأ خط برازش داده شده، می‌توان مقدار مکش خاک و هدايت هیدرولیکی اشباع خاک را تعیین کرد. Zира از رابطه ۱۰ می‌توان به رابطه ۱۱ رسیده و در نهایت به مقادیر  $SW$  و  $K_s$  دست پیدا نمود: (Houghtalen and Akran, 2003)

$$(11) \quad -\frac{1}{F} = \frac{f}{KS_w(\eta - \theta_i)} + \frac{1}{S_w(\eta - \theta_i)}$$

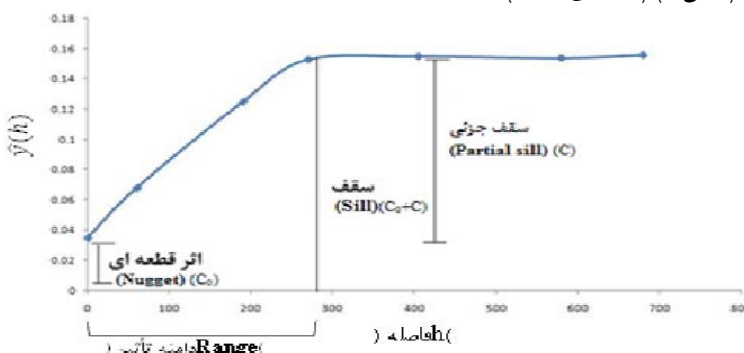
در این تحقیق نیز داده‌های تهیه شده از آزمایش‌های صحرایی نفوذ شامل زمان و ارتفاع آب نفوذ یافته می‌باشد. با معلوم بودن مقادیر رطوبت اولیه و تخلخل خاک محل آزمایش، با استفاده از شبیه خط برازش داده شده و عرض از مبدأ آن مقادیر دو پارامتر  $K_s$  و  $SW$  برآورد گردید.

## ۲-۶- محاسبه تغییرپذیری مکانی پارامترهای بهترین مدل

تجزیه و تحلیل ساختار تغییرات مکانی در زمین‌آمار با استفاده از تغییرنما (واریوگرام) صورت می‌گیرد.تابع واریوگرام، ابزار کلیدی در نظریه‌ی متغیرهای ناحیه‌ای است. واریوگرام تجربی ( $\hat{y}(h)$ ، عبارت از متوسط محدود اختلافات بین دو مشاهده  $(Z(x), Z(x+h))$  در دو موقعیت مکانی واقع در فضای نمونه‌برداری است که توسط آرایه (فاصله)  $h$  از هم جدا شده‌اند:

$$(12) \quad \hat{y}(h) = \frac{1.1}{2N(h)} \sum_{i=1}^{N(h)} (Z(X_{i+h}))^2$$

عبارت از جفت نمونه‌های جدا شده تو سط  $h$  است (محمدی، ۱۳۷۷). برای یک متغیر ناحیه‌ای با ساختار فضایی، توزیع طوری است که تشابه مقدار متغیر ناحیه‌ای برای نقاط نزدیک به هم نسبت به نقاط دور از هم بیشتر است. لذا با افزایش فاصله زمانی یا مکانی بین نمونه‌ها به حدی رسیده می‌شود که از آن به بعد مقدار متغیر ناحیه‌ای در نقاط اطراف یکدیگر بر هم تأثیر چندانی ندارند و با افزایش فاصله مقدار واریوگرام تغییر معنی‌داری نمی‌کند. به این فاصله دامنه یا شعاع تأثیر (R) می‌گویند (شکل ۳) (محمدی، ۱۳۸۵).



### شکل ۳- اجزای تغییر نمای ایده آل

همچنان که  $h$  افزایش می‌باید مقدار هر واریوگرام از مقادیر کم شروع شده و پس از فراز و نشیب‌هایی ممکن است به سمت حد ثابتی میل کند. بنابراین بعضی از واریوگرام‌ها به مقادار نسبتاً ثابتی می‌رسند که بعد از آن هر چه فاصله بیشتر شود مقدار واریوگرام تغییر معنی‌داری نمی‌کند. به این مقدار نسبتاً ثابت که تغییرات آن فقط تصادفی است سقف  $h$  گفته می‌شود. به مقدار واریوگرام به ازاء  $h=0$ ، اثر قطعه‌ای  $10(C0)$  (گفته می‌شود (شکل ۳). تغییرنماها با استفاده از مدل‌هایی برآورد می‌گردند. مدل‌های تغییرنما به دو دسته سقف‌دار و بدون سقف تقسیم می‌شوند (محمدی، ۱۳۸۵).

یکی از فاکتورهایی که از روی تغییرنماها می‌توان به آن دست یافت وابستگی مکانی  $11(C0+C0+C)$  به عنوان مقادیر وابستگی مکانی تعریف شده است، به نحوی که مقادیر کمتر از  $25$  درصد نمایانگر وابستگی مکانی قوی، مقادیر  $25$  تا  $75$  درصد به عنوان وابستگی مکانی متوسط و مقادیر بیشتر از  $75$  درصد معرف وابستگی مکانی ضعیف است (Sharif and Ganawa, 2003; Sadler et al., 1998; Auerswald et al., 2009).

در این تحقیق از بین مدل‌های تجربی کروی، نمایی، خطی و گوسی با توجه به معیارهای R.S.S و R2 مناسب‌ترین مدل انتخاب گردید. مقدار R.S.S کمتر و R2 بالاتر نشان دهنده مدل مناسب می‌باشد (Mozo et al., 2006).  
به طور کلی تخمین زمین آماری فرآیندی است که طی آن می‌توان مقدار یک کمیت در نقاطی با مختصات معلوم را با استفاده از مقدار همان کمیت در نقاط دیگری با مختصات معلوم به دست آورد. در زمین آمار، روش‌های مختلفی برای تخمین وجود دارد که یکی از بارزترین و پرکاربردترین آن‌ها کریجینگ  $12(Utset et al., 2000)$  است. این روش در تهیه نقشه‌های خصوصیات خاک و پارامترهای نفوذ کاربرد فراوانی داشته است (قربانی دشتکی و همکاران، ۱۳۸۹؛ Utset et al., 2000; Theodossiou and Latinopoulos, 2006; Motaghian H. R., Mohammadi J., 2011.; Jang et al., 2013). در روش کریجینگ لزوماً به داده‌های مشاهداتی که در قالب یک شبکه و به صورت نرمال توزیع یابد نیاز نیست و برای برآورد ساختار متغیرهای ناحیه‌ای تنها نقاط همسایه داده‌های برآوردهای لحاظ می‌گردد (De Marsil, 1986). کریجینگ یک تخمین گر دقیق بوده که برآورد مجدد نقاط مشاهداتی را به درستی انجام می‌دهد. یکی از مزایای اصلی این روش این است که احتمال برآورد خطای میان‌بابی را برای مقادیر متغیر ناحیه‌ای در مکانی می‌دهد که در آن هیچ‌گونه اندازه‌گیری اولیه‌ای از آن صورت نگرفته است. این ویژگی باعث ارائه میزانی از دقت برآورد و صحت توزیع مکانی متغیر می‌گردد (Theodossiou and Latinopoulos, 2006). در این تحقیق با توجه مزایای اشاره شده و همچنین عدم برداشت شبکه‌ای داده‌های مشاهداتی به منظور میان‌بابی پارامترهای مختلف نفوذ از روش کریجینگ استفاده شد.  
پس از محاسبه پارامترهای ضریب هدایت هیدرولیکی اشباع (Ks) و پتانسیل مکش خاک در جبهه رطوبتی (Sw) در هر نقطه با استفاده از نرم‌افزار GS+ ۹ مدل‌های تغییرنما تجربی برای هر پارامتر محا سبه گردید و ساختار مکانی داده‌ها در کل حوزه بررسی شد. از آنجایی که لازمه تحلیل‌هایی از قبیل محاسبه تغییر نما و همچنین استفاده از روش‌های میان‌بابی مانند کریجینگ استفاده از داده‌های نرمال می‌باشد، بنابراین قبل از وارد کردن داده‌ها به محیط نرم‌افزار GS+, نرمال بودن داده‌ها با استفاده از آزمون کلوموگروف - اسمیرنوف  $13$  مورد بررسی قرار گرفته و با توجه به نرمال نبودن داده‌های هر دو پارامتر، با استفاده از تابع ریشه دوم داده‌ها نرمال گردیدند.

در ادامه مشخصات مربوط به مدل‌های تغییرنما برای هر پارامتر به محیط نرم‌افزاری Arc GIS منتقل شد و نقشه‌های مربوطه با استفاده از روش کریجینگ ترسیم گردید. با توجه به این که نقشه‌های مذکور از مقادیر ریشه دوم داده‌های نقطه‌ای پارامترها به دست آمد، در نهایت با استفاده از گزینه Math در جعبه‌ابزار Spatial analyst مقادیر پارامترها در نقشه‌هایی به دست آمده به مقادیر اصلی خود برگردانده و نقشه‌های نهایی تهیه گردید.

۹- Sill

3- Nugget effect

۱۱- Dependence Variability

۱۲- Kriging

۱۳- Kolmogorov-Smirnov

**۳- نتایج****۳-۱- آزمایش نفوذسنجدی**

بررسی داده‌های حاصل از آزمایش استوانه مضاعف نشان داد که حداکثر سرعت نفوذ آب (سرعت نفوذ اولیه) به داخل خاک که معمولاً در همان دقیقه اول آزمایش رخ داده در نقاط مختلف حوزه متفاوت می‌باشد. حداکثر این سرعت در آزمایش شماره ۲۵ به میزان  $120 \text{ mm/min}$  بوده و حداقل آن در آزمایش شماره ۲ به میزان  $7 \text{ mm/min}$  رخ داد. همچنین میزان نفوذ تجمعی در پایه مشترک زمانی  $60$  دقیقه ابتدایی آزمایش نیز برای تمامی آزمایش‌ها محاسبه گردید. نتایج نشان داد که حداکثر میزان نفوذ تجمعی در آزمایش شماره  $6$  به میزان  $967 \text{ mm}$  و حداقل آن نیز برای آزمایش شماره  $22$  به میزان  $38/5 \text{ mm}$  بوده است. نتایج آماره‌های تو صیغی این فاکتورها در جدول ۱ ارائه گردیده است.

**جدول ۱- آماره‌های تو صیغی فاکتورهای نفوذ و پارامترهای مدل گوین- امپت در ۲۷ نقطه مورد آزمایش**

آماره	نفوذ (mm/min)	حداکثر سرعت (mm/min)	نفوذ تجمعی در ۶۰ دقیقه (mm)	هدایت هیدرولیکی (cm)	پتانسیل مکش خاک در جبهه (cm/hr) رطوبتی
میانگین	۴۳/۱۱	۲۵۹/۴۵	۲/۱۹	۱۸/۵۶	
حداقل	۷/۰۰	۳۸/۲۵	۰/۰۸	۷/۰۰	
حداکثر	۱۲۰/۰۰	۹۶۷/۰۰	۸/۰۰	۵۲/۰۰	
چولگی	۱/۱۸۶	۱/۳۲۲	۱/۰۱	۱/۷۸۲	
کشیدگی	۰/۵۸۲	۰/۴۵۶	۰/۵۷۸	۳/۵۰۱	
انحراف	۲۹/۹۱	۲۸۰/۲۱	۲/۰۶	۱۱/۰۴	
معیار					

**۳-۲- آزمایش بافت خاک**

نتایج آزمایش بافت خاک روی نمونه‌های برداشت شده از نقاط مورد آزمایش نفوذسنجدی نشان داد که در بیشتر نقاط حوزه بافت خاک از نوع آزمایش Loamy sand و Sandy loam و Clay loam بوده ولی در نقاط محدودی هم بافت‌های Clay loam، Sandy clay و Loam مشاهده گردید.

**۳-۳- بررسی کارایی مدل‌های مختلف و تعیین بهترین مدل نفوذ**

همان طور که در بخش روش‌ها بیان شد به منظور بررسی کارایی مدل‌های مختلف و همچنین تعیین مناسب‌ترین مدل برای تمامی نقاط مورد آزمایش در حوزه آبخیز داراب کلا از معیار ارزیابی RMSE استفاده گردید. جدول ۲ نتایج به دست آمده از این معیار در آزمایش‌های مختلف را نشان می‌دهد. با توجه به نتایج این جدول، مشخص گردید که مدل گرین- امپت در  $12$  مورد از آزمایش‌ها، مدل هورتون در  $9$  مورد و مدل‌های فیلیپ دو جمله‌ای و کوستیاکف به ترتیب در  $5$  و  $1$  مورد پیش‌بینی‌های مناسب‌تری نسبت به سایر مدل‌ها داشتند. اما از نظر میانگین مقادیر RMSE و همچنین مجموع رتبه‌ها مدل گرین- امپت دارای کمترین مقدار بوده و به عنوان مناسب‌ترین مدل برای این حوزه معرفی شد. با توجه به طبقه‌بندی مدل‌های نفوذ در دو دسته مبتنی بر فیزیک و تجربی نتایج نشان داد که مدل‌های مبتنی بر فیزیک فیلیپ دو جمله‌ای و گرین- امپت دارای مقادیر میانگین RMSE و مجموع رتبه بهتری نسبت به دو مدل تجربی کوستیاکوف و هورتون می‌باشند (جدول ۲).

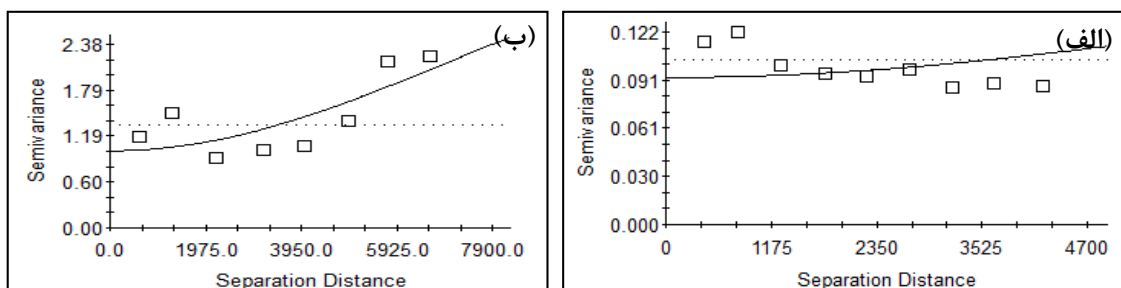
**جدول ۲- مقادیر میانگین RMSE و مجموع رتبه مدل‌ها در آزمایش‌های مختلف برای پیش‌بینی سرعت نفوذ**

مبتنی بر فیزیک	تجربی
----------------	-------

هورتون				کوستیاکف				گرین - امپت				فلیپ دو جمله‌ای				نوع مدل	
مجموع	میانگین	مجموع	میانگین	مجموع	میانگین	مجموع	میانگین	مجموع	میانگین	مجموع	میانگین	مجموع	میانگین	مجموع	میانگین	RMSE	
۵۹	۲۳۱/۲۲	۱۰۳	۳۵۶/۶۳۸	۵۳	۱۹۳/۹۱	۵۵	۲۰۶/۳۰۸										

### ۴-۳- تغییرپذیری مکانی پارامترهای مدل گرین- امپت

پس از محاسبه پارامترهای مدل گرین- امپت در آزمایش‌های مختلف نفوذ، سری مقادیر مربوط به این پارامترها تشکیل و نتایج آن در جدول ۱ ارائه گردید. به منظور بررسی ساختار مکانی پارامترهای مدل گرین - امپت، با استفاده از نرم‌افزار زمین آمار GS+9 و از طریق روش آزمون و خطا مدل‌های مناسب تغییرنما تجربی برای هر یک از پارامترها تعیین گردید. البته لازم به ذکر است که به منظور نرمال سازی داده‌ها از ریشه دوم مقادیر پارامترها استفاده شد و محاسبات زمین آمار با توجه به این مقادیر انجام پذیرفت. برای بررسی ساختار مکانی از تغییرنما همه‌جانبه که بیانگر متوسط تغییرات مکانی پارامترها در تمام راستاهای است، استفاده گردید. شکل ۳-الف و ب تغییرنما همه‌جانبه را برای مقادیر ریشه دوم پارامترهای ضریب هدایت هیدرولیکی اشباع (Ks) و پتانسیل مکش خاک در جبهه رطوبتی (Sw) نشان می‌دهد. با توجه به شکل برای هر دو پارامتر مدل‌ها غیرسقفدار و دارای ساختار مکانی می‌باشند. این امر نمایانگر وابسته بودن پارامترهای نفوذ در مکان‌های مختلف نسبت به یکدیگر بوده و وجود ساختار فضایی را نشان می‌دهد. همچنین همبستگی مکانی پارامترهای Ks و Sw به ترتیب پس از رسیدن به شعاع (دامنه) ۱۰۱۱۰ و ۱۷۴۴۰ متر، حالت تصادفی پیدا کرده است. از آنجایی که دامنه تأثیر بزرگ‌تر، نشان‌دهنده ساختار مکانی گستردگرتر می‌باشد بنابراین پارامتر Sw دارای ساختار مکانی گستردگرتری نسبت به Ks می‌باشد.



شکل ۳- تغییرنما همه‌جانبه برای ریشه دوم ضریب هدایت هیدرولیکی اشباع (Ks) (الف) و ریشه دوم پتانسیل مکش خاک در جبهه رطوبتی (Sw) (ب)

م مشخصات مختلف هر یک از مدل‌های تغییرنما تئوری به دست آمده برای پارامترهای Ks و Sw در جدول ۳ ارائه گردید. با توجه این جدول مشخص گردید که میزان وابستگی مکانی پارامتر Ks و Sw به ترتیب ۰/۴۹ و ۰/۲۵٪ بوده است. این نتایج نشان می‌دهد که هر دو پارامتر دارای وابستگی مکانی متوسطی می‌باشند.

جدول ۳- پارامترهای تغییرنما مورد مطالعه به همراه معیارهای انتخاب

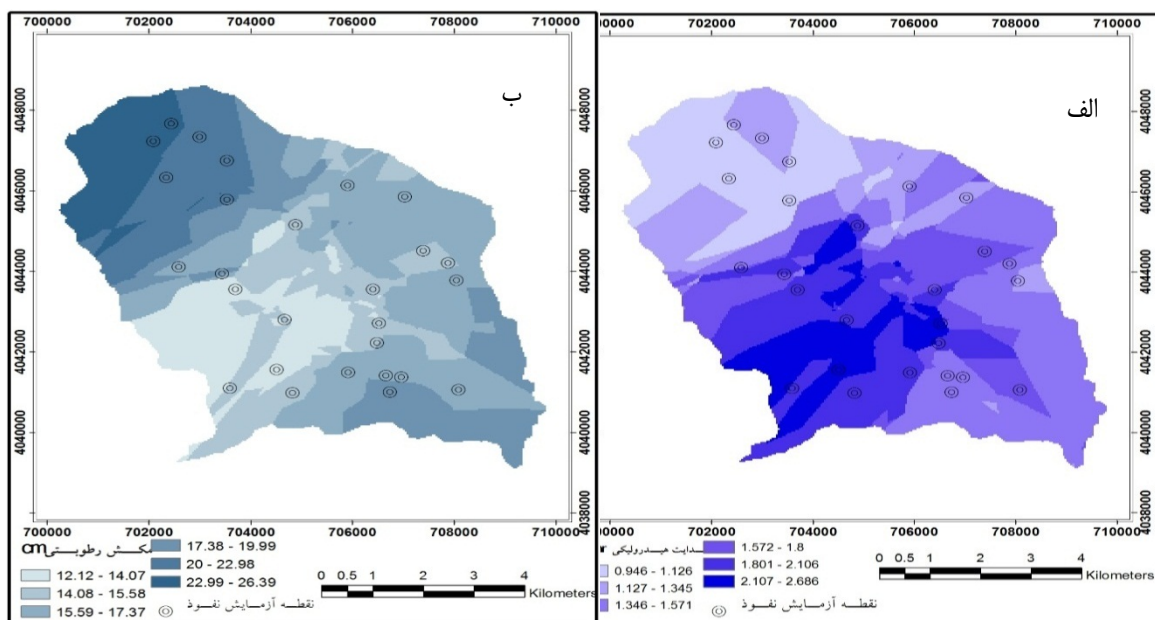
متغیر	مدل	شعاع تأثیر (m)	سقف* (C0+C)	اثر قطعه‌ای (C0)	وابستگی مکانی	R2	RSS
گوسی	Ks	۱۰۱۱۰	۰/۱۸۷	۰/۰۹۳	۰/۴۹۷	۰/۶۲۰	۲/۲۲۷×۱۰ -۳

۰/۷۰۷	۰/۶۱۵	۰/۲۵	۱/۰۰۱	۴/۰۱۲	۱۷۴۴۰	Sw گوسی
-------	-------	------	-------	-------	-------	---------

\* مقدار سقف با احتساب اثر قطعه‌ای محاسبه گردیده است.

همچنین مقادیر تغییرنماهی هر دو پارامتر بهترین برازش را با مدل‌های گوسی نشان دادند. نتایج بررسی تغییرنماهای سطحی نشان داد که در مورد هر دو پارامتر هیچ‌گونه ناهمسان‌گردی در جهات مختلف وجود نداشته و تقریباً در تمامی جهات پارامترها دارای همسان گردی یکسانی می‌باشدند.

همان‌طور که در بخش روش‌ها نیز توضیح داده شد پس از تعیین مدل تغییرنمای مناسب و محاسبه اجزای مختلف آن در نهایت نقشه‌های مربوط به میان‌یابی پارامترهای مدل گرین-امپت در محیط نرم‌افزار Arc GIS تهیه و نتایج آن در شکل ۴ (الف و ب) ارائه گردید. این نتایج نشان داد که به طور کلی قسمت‌های بالادست (جنوبی) و همچنین شرقی حوزه دارای بیشترین مقادیر هدایت گردید. این پارامتر در قسمت‌های پایین‌دست و نزدیک به خروجی دارای مقادیر کمتری می‌باشدند. همچنین شکل ۴-ب نیز هیدرولیکی بوده و این پارامتر در قسمت‌های اشباع، پتانسیل مکش خاک در جبهه رطوبتی، در قسمت‌های پایین دست حوزه نشان می‌دهد که برخلاف پارامتر هدایت هیدرولیکی اشباع، پتانسیل مکش خاک در جبهه رطوبتی، در قسمت‌های پایین دست حوزه دارای مقادیر کمتری می‌باشد. این در حالی است که مقادیر بیشتر در قسمت‌های شرقی و جنوبی (بالادست) حوزه دیده شده است.



شکل ۴- نقشه میان‌یابی پارامترهای هدایت هیدرولیکی اشباع (الف) و پتانسیل مکش خاک در جبهه رطوبتی در حوزه داراب کلا

#### ۴- بحث و نتیجه‌گیری

نتایج حاصل از این تحقیق در مورد آزمایش‌های صحرایی استوانه‌های مضاعف نشان داد که مقادیر سرعت اولیه و میزان نفوذ در برخی از نقاط آزمایشی مانند نقطه شماره ۶ و ۲۵ بسیار زیاد می‌باشد، دلیل این امر به خاطر این است که محل این دو نقطه در نزدیکی آبراهه‌های اصلی بوده و جنس مواد و خاک این نقطه از مواد آبرفتی بوده و خاک آن‌ها دارای بافت آن Loamy sand با میزان شن به ترتیب ۷۹ و ۷۲ درصد می‌باشد. همچنین سایر نتایج در این قسمت نشان داد که در برخی نقاط از جمله نقاط ۲ و ۲۲ علیرغم اینکه در کاربری جنگل قرار دارند ولی مقادیر سرعت اولیه نفوذ و میزان نفوذ در ۶۰ دقیقه اول آزمایش بسیار پایین می‌باشد. با توجه به مشاهدات صحرایی دلیل این امر را می‌توان به فشردگی، تخریب و لگدکوبی خاک تو سط احشام به خصوص در مواقعی که خاک دارای رطوبت بالایی بوده، نسبت داد. البته در برخی نقاط از جمله نقاط ۱۷ و ۱۳ نیز مقدار نفوذ نسبت به سایر نقاط پایین بود. دلیل این کاهش نفوذ را می‌توان به تغییر کاربری اراضی از جنگل به زراعت دیم نسبت داد. البته در یک جمع‌بندی کلی می‌توان گفت که در حوزه آبخیز



داراب کلا میزان نفوذپذیری در کاربری جنگل نسبت به کاربری‌های زراعی و باغی بالاتر می‌باشد. این یافته با نتایج محمدی کنگرانی و همکاران (۱۳۹۰) که بیشترین دامنه نفوذ را به کاربری جنگل نسبت داده بودند مطابقت دارد. نتایج این پژوهش در مورد انتخاب بهترین مدل نفوذ نشان داد که در کل ۲۷ نقطه مورد آزمایش استوانه م ضاعف و از بین چهار مدل مورد بررسی، مدل نفوذ گرین - امپت با کمترین مقدار متوسط RMSE و بهترین رتبه به عنوان مناسب‌ترین مدل انتخاب گردید. سایر بررسی‌ها نیز مشخص کرد که این برتری هم در آزمایش‌های با زمان کوتاه و هم آزمایش‌های بلندمدت‌تر وجود داشت. این نتیجه‌گیری با نتایج محمدی کنگرانی (۱۳۹۰) که هورتون را به عنوان بهترین مدل برای حوزه نکارود انتخاب کردند، همخوانی ندارد. البته نشاط و پاره کار (۱۳۸۶) نیز مدل کوستیاکف را به عنوان بهترین مدل برای کلیه شرایط اعلام نموده بودند و برای زمان‌های طولانی نیز از مدل‌های فیلیپ و SCS به عنوان مدل‌های مناسب برای داده‌های کل ایران نام بردند، که با نتایج پژوهش حا ضر مطابقت ندارد. همچنین (Machiwal *et al.*, 2006) نیز مدل فیلیپ را برای یکی از حوزه‌های هندوستان مناسب اعلام نمود که این با نتایج این تحقیق مطابقت ندارد.

دلیل این تفاوت‌ها را می‌توان به تغییرات در شرایط حاکم بر حوزه‌های مورد مطالعه با حوزه داراب کلا نسبت داد. از جمله این شرایط می‌توان به تفاوت در کاربری‌ها، خصوصیات خاک مانند بافت، درصد ماده آلی، ساختمان و همچنین میزان تخریب در حوزه‌ها اشاره نمود. از دلایل دیگر تفاوت در معرفی بهترین مدل در این تحقیق با مطالعات مشابه ارائه شده، می‌توان به تفاوت در شیوه اندازه‌گیری نفوذ، تفاوت در شرایط اولیه و مرزی جریان آب در خاک، استفاده از معیارهای مختلف آماری به منظور سنجش مدل‌ها اشاره نمود. بنابراین فرآیند نفوذ آب به خاک دارای ویژگی تغییرپذیری است که از یک نقطه به نقطه دیگر و همچنین از یک منطقه به منطقه دیگر می‌تواند اختلاف‌هایی داشته باشد. این امر در منطقه مربوط با قوانین فیزیکی تبعیت می‌نمایند بنابراین مختص به یک منطقه می‌تواند از نقاط مختلف آزمایشی مدل‌های مختلفی به عنوان مدل برتر شناخته شدند. بنابراین طبیعی است که در مناطق و حوزه‌های مختلف مطالعه مدل‌های نفوذ دارای عملکرد متفاوتی باشند.

با توجه به نتایج به دست آمده مشخص گردید که در این منطقه مدل‌های مبتنی بر فیزیک گرین - امپت و فیلیپ پیش‌بینی‌های بهتری نسبت به مدل‌های تجربی کوستیاکوف و هورتون دارند. دلیل این امر می‌تواند مربوط به این مفهوم باشد که چون مدل‌های مبتنی بر فیزیک از معادلات مربوط با قوانین فیزیکی تبعیت می‌نمایند بنابراین مختص به یک منطقه خاص نبوده (Bennett, 1974) و در این منطقه نیز نتایج بهتری ارائه دادند. اما مدل‌های تجربی بدلیل این که از شرایط زمانی و مکانی خاصی تأثیر گرفته‌اند (محمدی و رفاهی، ۱۳۸۴؛ Loaiceiga and Huang, 2007)، در حوزه داراب کلا دارای کارایی کمتری بودند.

نتایج این تحقیق در مورد تغییرپذیری پارامتر نفوذ نشان داد که پارامترهای KS و SW دارای وابستگی مکانی متوسطی می‌باشند. این امر نشان داد که در مورد پارامتر KS و SW به ترتیب ۷۵ و ۵۱ درصد از تغییرات وابسته به تغییرات مکانی بوده و ۴۹ و ۲۵ درصد باقی‌مانده ناشی از عوامل ناشناخته و تصادفی بوده است. از بین عوامل ناشناخته می‌توان به عواملی همچون تغییرات در کاربری اراضی، برخی خصوصیات شیمیایی خاک، خطای اندازه‌گیری‌ها و ... را نام برد. با توجه به این که این پارامترها از خصوصیات فیزیکی خاک ناشی می‌شوند، بنابراین تغییرپذیری مکانی این پارامترها را می‌توان به تغییرات این عوامل نسبت داد.

از آنجایی که در ساختار مدل فیلیپ نیز همانند گرین - امپت دو پارامتر وجود دارد که یکی از آن‌ها پارامتر هدایت هیدرولیکی اشباع (KS) می‌باشد، مقایسه نتایج با نتایج قربانی دشتکی و همکاران (۱۳۸۹) نشان داد که در هر دو مورد، پارامترهای مدل‌ها دارای ساختار مکانی بالایی می‌باشند. البته بالا بودن ساختار و تغییرپذیری مکانی در مورد پارامتر هدایت هیدرولیکی اشباع با اظهارات (Nielsen *et al.*, 1973) و Comenga و Vitale (1973) مطابقت کامل دارد. همچنین مدل‌های تغییرنامی مربوط به هر دو پارامتر مدل گرین - امپت در این تحقیق برخلاف پارامترهای مدل فیلیپ از نوع گوسی بودند. مقایسه سه‌هم تغییرات تصادفی پارامترها نیز نشان داد که در پژوهش حاضر تغییرات پارامتر هدایت هیدرولیکی اشباع ۲۵ درصد تصادفی می‌باشد در حالی که محاسبات قربانی دشتکی و همکاران (۱۳۸۹) برای این پارامتر مقدار ۱۰ درصد از تغییرات را تصادفی نشان داده بود. این امر نیز به دلیل تفاوت‌ها در دو منطقه مطالعه از جمله کاربری، ویژگی‌های خاک و ... می‌باشد.

در این تحقیق هیچ‌گونه ناهمسان‌گردی در تغییرنامه‌های سطحی پارامترها مشاهده نشد. این امر بدین معنی است که تغییرات پارامترهای مختلف از جهت جغرافیایی خاصی تبعیت نکرده و در تمامی جهات یکسان می‌باشد. این نتایج برخلاف نتایج قربانی دشتکی و همکاران در منطقه نثارین استان چهارمحال و بختیاری (۱۳۸۹) می‌باشد. یکی از دلایل این امر این است که در حوزه آبخیز داراب کلا تخریب

خاک (که می‌تواند به عنوان یک عامل ناهمسان‌گردی تلقی شود) در تمامی سطح حوزه یکسان بوده و در جهت خاصی صورت نگرفته است. اما در منطقه نثارین تخریب‌ها در جهت عمود بر شیب منطقه صورت گرفته بود و سبب ناهمسان‌گردی پارامترها در جهت عمود بر شیب منطقه شده بود.

بررسی نقشه‌های حاصل از میان‌بابی پارامترهای نفوذ مدل گرین - امپت نشان داد که مقادیر پارامتر هدایت هیدرولیکی اشباع در قسمت‌های پایین دست حوزه دارای مقادیر کمتری بوده است. با مراجعت به نقشه کاربری اراضی ملاحظه گردید که در این قسمت‌ها کاربری‌ها عمدتاً اراضی زراعی دیم و آبی و همچنین اراضی مسکونی می‌باشند. از این روندیکی به نظر می‌رسد که در مناطق بالا‌دست که کاربری جنگلی وجود دارد، هدایت هیدرولیکی اشباع خاک به دلیل وجود ماده آلی و ساختمان بهتر خاک بهتر از قسمت‌های پایین دست باشد.

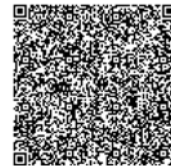
در مورد نقشه پارامتر پتانسیل مکش در جبهه رطوبتی خاک نیز نشان داده شد که مقادیر بالاتر مربوط به قسمت‌های پایین دست بوده و مناطق شرقی و بالادست دارای مقادیر کمتری می‌باشند. خصوصیت این پارامتر این است که در قسمت‌های با بافت خاک ریزتر و نفوذپذیری کمتر میزان آن بالاتر می‌رود (Akan *et al.*, 2006). بررسی نقشه‌های کاربری و همچنین بررسی بافت خاک نقاط نمونه‌گیری در قسمت‌های پایین دست حوزه نیز تأیید کننده این موضوع می‌باشد. زیرا در این قسمت‌ها بافت خاک عمدتاً ریزدانه و کاربری اراضی نیز زراعی و با نفوذپذیری کم می‌باشد.

## ۵- مراجع

۱. پژوهی عراقی، ف.، میرلطیفی، س.م.، قربانی دشتکی، ش.، مهدیان، م.ح.، ۱۳۸۹. ارزیابی برخی مدل‌های نفوذ آب به خاک در برخی کلاس‌های بافتی خاک و کاربری‌های اراضی، نشریه آبیاری و زهکشی ایران، شماره ۲، جلد ۴. ص ۲۰۵-۱۹۳.
۲. سپهوند، ع.، طایی سمیرمی، م.، میرنیا، س.خ.، مرادی، ح.ر.، ۱۳۹۰. ارزیابی حساسیت مدل‌های نفوذ نسبت به تغییرپذیری رطوبت خاک، نشریه آب و خاک (علوم و صنایع کشاورزی)، جلد ۲۵، شماره ۲، ص ۳۴۶-۳۳۸.
۳. حسنی، پاک ع.، ا.، ۱۳۷۷. زمین آمار(ژئواستاتیستیک). انتشارات دانشگاه تهران. ص ۳۱۴.
۴. قربانی دشتکی، ش.، همایی، م.، مهدیان، م.ح.، ۱۳۸۹. تأثیر کاربری اراضی بر تغییرات مکانی پارامترهای نفوذ آب به خاک، نشریه آبیاری و زهکشی ایران، شماره ۲، جلد ۴. ص ۲۲۱-۲۰۶.
۵. محمدی، ج.، ۱۳۷۷. مطالعه تغییرات مکانی شوری خاک در منطقه‌ی رامهرمز با استفاده از نظریه‌ی ژئواستاتیستیک، مجله‌ی علوم و فنون کشاورزی و منابع طبیعی. جلد دوم. شماره ۴. ص ۴۹-۶۳.
۶. محمدی، ج.، ۱۳۸۵. پدومتری آمار مکانی (ژئواستاتیستیک). انتشارات پلک. جلد دوم، ص ۴۵۳-۴۵۲.
۷. محمدی کنگرانی، ح.، خلیلیزاده، م.، حلی‌ساز، ا.، ۱۳۹۰. بررسی ارتباط میان تغییر کاربری اراضی و نرخ نفوذپذیری خاک و تأثیر آن در وقوع سیل سال ۱۳۷۸ در حوزه آبخیز جنگلی نکارود، فصلنامه جغرافیای طبیعی، سال چهارم شماره ۱۱، ص ۷۸-۷۵.
۸. محمدی، م.ح. و رفاهی، ح.ق.، ۱۳۸۴. تخمین پارامترهای معادلات نفوذ توسط خصوصیات فیزیکی خاک. مجله علوم کشاورزی ایران، ۳۶(۲): ۱۳۹۸-۱۳۹۱.
۹. نشاط، ع.، پاره کار، م.، ۱۳۸۶. مقایسه روش‌های تعیین سرعت نفوذ عمودی آب در خاک، مجله علوم کشاورزی و منابع طبیعی، جلد ۱۴، شماره ۳.
10. Akan A. O., Houghtalen R. J., 2003. Urban Hydrology, Hydraulics, and Storm water Quality. John Wiley & Sons.
11. Auerswald K., Wittmer M. H. O. M., Mannel T. T., Bai Y. F., Schaufele R., Schnyder H., 2009. Large regional-scale variation in C3/C4 distribution pattern of Inner Mongolia steppe is revealed by grazer wool carbon isotope composition. Journal of Biogeosciences, 6, 795–805.
12. Bennett, J.P., 1974. Concepts of mathematical modelling of sediment yield. Water Resources Research 10, 485–492.
13. Bland, J.M. And Altman, D.G., 1997. Statistics notes. Cronba.

14. Carvallo H. O., Cassel D. K., Hammond J., Bauer A., 1976. Spatial variability of in situ unsaturated hydraulic conductivity of Maddock sandy loam. *Soil Science*, 121, 1–8.
15. Chen F. W., Liu C.W., 2012. Estimation of the spatial rainfall distribution using inverse distance weighting (IDW) in the middle of Taiwan. *Journal of Paddy Water Environment*, vol. 10 (3), 209 – 222.
16. Comegna V., Vitale C., 1993. Space–time analysis of water status in a volcanic Vesuvian soil. *Geoderma*, 60, 135–158.
17. De Marsily, 1986. Quantitative Hydrogeology. Academic Press.
18. Ganawa, E. S. M. & A. R. Mohammad Sharif. 2003. Spatial Variability of Total Nitrogen, and Available Phosphorus of Large Rice Field in Sawah Sepadan Malaysia. *Science Asia Journal* 29:7-12.
19. Ghorbani Dashtaki S., Homaei M., Mahdian M.H., Kouchakzadeh M., 2009. Site-Dependence Performance of Infiltration Models. *Water Resource Management*, 23: 1573-1650.
20. Green, W., and Ampt, G.A., 1911. Studies on soil physics, I. Flow of air and water through soils. *J. Agr. Sci.* 4, 1-24.
21. Hillel D., 1998. Environmental Soil Physics. Academic Press, San Diego, CA.
22. Ho, R., 2006. Handbook of univariate and multivariate data analysis and interpretation with SPSS. Chapman & Hall/CRC. 403 pp.
23. Hsu S. M., P.E., M.ASCE, Ni Ch. F., Hung P. F., 2002. Assessment of Three Infiltration Formulas based on Model Fitting on Richards Equation. *Journal of Hydrologic Engineering*, Vol. 7, No. 5, 373-379.
24. Jang C. S., Chen S. K., Kuo Y. M., 2013. Applying indicator-based geostatistical approaches to determine potential zones of groundwater recharge based on borehole data, *Catena* Vol. 101, pp: 178–187.
25. Jaynes R. A., Gifford G. F., 1981. An in-depth examination of the Philip equation for cataloging infiltration characteristics in rangeland environments. *Journal of Range Management*, 34(4), 285–296.
26. John A. Moody, David A. Kinner, Xavier Úbeda, 2009. Linking hydraulic properties of fire-affected soils to infiltration and water repellency. *Journal of Hydrology*, vol. 379, 291–303.
27. Keisling T., C., Davidson J. M., Weeks D. L., Morrison R. D., 1977, Precision with which selected soil parameters can be estimated. *Soil Science*, 124, pp: 241–248.
28. Loaiciga H.A., and Huang A. 2007. Ponding analysis with Green-Ampt infiltration. *Journal of Hydrologic Engineering*, 12(1), pp: 109-112.
29. Machiwal D. Jha, M. K., Mal B.C., 2006. Modelling Infiltration and quantifying Spatial Soil Variability in a Wasteland of Kharagpur, India. *Biosystems Engineering*, vol. 95, No. 4, pp: 569–582.
30. Moody J. A., Kinner D. A., Úbeda X., 2009. Linking hydraulic properties of fire-affected soils to infiltration and water repellency. *Journal of Hydrology*, vol. 379, pp: 291–303.
31. Motaghian H. R., Mohammadi J., 2011. Spatial estimation of saturated hydraulic conductivity from terrain attributes using regression, Kriging, and artificial neural networks. *Pedosphere*, 21(2), pp: 170–177, 2011.
32. Mozo H. G., Galan C., Vazquez L., 2006. The reliability of geostatistic interpolation in olive field floral phenology. *Aerobiologia*, vol. 22, pp: 97–108.
33. Mulla D. J, McBratney A. B., 2002. Soil spatial variability. In: *Soil Physics Companion* (Warrick A W, ed), pp 343–373. CRC Press, Florida.

34. Myers, D. E, 1994. Spatial Interpolation: An Overview, *Geoderma*. Vol. 62, pp : 17- 28.
35. Nielsen D. R., Biggar J. W., Erh K. T., 1973. Spatial variability of field-measured soil-water properties. *Hilgardia*, 42, 215–259.
36. Parlange J. Y., Haverkamp R., 1989. Infiltration and ponding time. In: *Unsaturated Flow in Hydrologic Modeling Theory and Practice* (Morel-Seytoux H J, ed), pp 95–126. Kluwer Academic Publishers, Boston, MA.
37. Philip J. R., 1969. Theory of Infiltration. Academic Press, New York Vol. 9, pp 215–295.
38. Ravi V., Williams J. R., 1998. Estimation of infiltration rate in the vadose zone: compilation of simple mathematical models, Vol. I. United States Environmental Protection Agency, EPA/600/R-97/128a, 26pp.
39. Rawls, W.J., D.L. Brakensiek, and N. Miller. 1983. Green-Ampt infiltration parameters from soils data. *J. Hydraul. Eng.* 109:62–70.
40. Sadler, E. J., Busscher, W. J., Bauer, P. J. & Karlen, D. L., 1998. Spatial scale requirements for precision farming: A case study in the southeastern USA. *Agron. J.* 90(2): 191-197.
41. Swartzendruber D., Hillel D., 1973. The physics of infiltration. In: *Physical Aspects of Soil Water and Salts in Ecosystems* (Hadas A, ed), pp 315–324.
42. Theodosiou N., Latinopoulos P., 2006. Evaluation and optimisation of groundwater observation networks using the Kriging methodology. *Environmental Modelling & Software*, 21, pp: 991-1000.
43. US Department of Agriculture Natural Resources and Conservation Service, 2005. National Engineering Handbook, Part 623, Surface Irrigation. National Technical Information Service, Washington, DC, Chapter 4.
44. Utset A., Lopez T., Diaz M., 2000. A comparison of soil maps, kriging and a combined method for spatially predicting bulk density and field capacity of ferralsols in the Havana-Matanzas Plain. *Geoderma*, 96 pp: 199–213.
45. Voller V. R., 2011. On a fractional derivative form of the Green-Ampt infiltration model. *Advances in Water Resources* 34, 257–262.
46. Wang X. P., Cui Y., Pan Y. X., Li X. R., Yu Z., Young M.H., 2008. Effects of rainfall characteristics on infiltration and redistribution patterns in revegetation-stabilized desert ecosystems. *Journal of Hydrology*, vol. 358, 134– 143.
47. Warrick A. W., Mullen G. J., Nielsen D. R., (1977a). Prediction of the soil-water flux based upon field measured soil-water properties. *Soil Science Society of America Journal*, 41, 4–19.
48. Warrick A. W., Mullen G. J., Nielsen D. R., (1977b). Scaling field-measured soil hydraulic properties using similar-media concept. *Water Resources Research*, 13, 355–362.
49. Webster R., Oliver M. A., 2001. *Geostatistics for environmental scientists*. John Wiley & Sons, Chichester, England. 271 pp.



## Identification of the Best Infiltration Model in Order to Investigation of Spatial Variability of Infiltration Parameters (Case Study: Darabkola River Basin)

Omidvar, E.\*: Corresponding author, PhD Candidate of Watershed management engineering and Sciences, University of Mazandaran, ebrahim\_omidvar@yahoo.com

Kavian, A.: Assistant Professor of Sari University (Agricultural Sciences and Natural Resources)

Solaimani, K.: Professor of Sari University (Agricultural Sciences and Natural Resources)

### **Abstract**

Infiltration is the process of water penetration from the ground surface into the soil and is an important process in the hydrological cycle by which surface runoff and groundwater recharge can be linked. Over the years, the importance of the infiltration process resulted in the development of several simplified analytical models for predicting infiltration. These infiltration models range from entirely empirical to physically based models. The most serious problem associated with infiltration modelling of a catchment is how to express the spatial soil variability. In the present study, various infiltration models were fitted to the observed infiltration data of 27 double ring infiltrometer tests and the best-fit infiltration model for Darabkola watershed was identified and evaluated. In addition, the spatial variability of the selected infiltration model parameters was analyzed using the geostatistical techniques. Results showed that among of four models, the Green - Ampt model could determine the infiltration rate with smallest values of RMSE. Hence, saturated hydraulic conductivity parameter (KS) and suction head at the wetting front (Sw) were estimated for all the test points. Evaluation of spatial variability of these parameters indicated that parameters KS and Sw had the spatial dependencies of 0.49 and 0.25 respectively, showing medium spatial dependencies of both parameters. Also, investigation of interpolation parameter maps showed that in the upland with forest land use, relative to other areas in the watershed, the saturated hydraulic conductivity (KS) and suction head at the wetting front (Sw) have larger (1.57-2.69 cm/hr) and smaller values (12.12-1737 cm), respectively.

**Keywords:** Infiltration, Green - Ampt Model, Geostatistic, Darabkola River